

О НЕЛИНЕЙНЫХ КОЛЕБАНИЯХ
ЭЛЛИПТИЧЕСКИХ ЦИЛИНДРИЧЕСКИХ ОБОЛОЧЕК

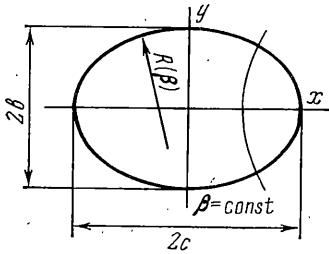
М. КОЗАРОВ, К. МЛАДЕНОВ

(София)

Известно, что исследования, посвященные колебаниям тонкостенных конструкций и конструктивных элементов, находящихся под действием не только статических, но и динамических нагрузок, имеют большое значение для практических приложений. В [1, 2] приведена обширная библиография по вопросам линейных и нелинейных колебаний тонких плит и оболочек с круговым поперечным сечением. Некруговые цилиндрические оболочки обладают некоторыми интересными свойствами, главным образом в послекритическом состоянии [3] и в последнее время являются объектом интенсивного изучения, хотя реальных результатов исследований получено пока недостаточно (см., например, [4, 5]).

Рассматриваются нелинейные колебания тонкой, упругой цилиндрической оболочки с эллиптическим поперечным сечением. Решение получено методом Бубнова — Галеркина. В результате преобразований получено уравнение Дуффинга, решение которого дает частотно-амплитудные характеристики оболочки при различных эксцентриситетах. Кроме того, при помощи ЭВМ получены зависимости между эксцентриситетом поперечного сечения и минимальной частотой колебаний для линейной задачи при различных толщинах и длинах цилиндра. Показано, что изменение частоты связано с изменением средней кривизны поперечного сечения.

Хорошо известные результаты для круговой оболочки можно получить, полагая эксцентриситет $\varepsilon=0$.



Фиг. 1

1. Основные уравнения. Дифференциальные уравнения движения оболочки могут быть получены из [1], если принять систему координат β и $\xi = z/c$ (фиг. 1). Для удобства все характеристики оболочки приведены к

безразмерной форме, причем у линейных величин масштаб c , а у времени $t = \tau c [\rho_0 (1 - \mu^2) / E]^{1/2}$, где E и μ — модуль Юнга и коэффициент Пуассона, а ρ_0 — плотность.

В результате преобразований получим следующие уравнения относительно безразмерных перемещений u , v и w :

$$\begin{aligned} & \frac{\partial^2 u}{\partial \xi^2} + \frac{1+\mu}{2h_1} \frac{\partial^2 v}{\partial \xi \partial \beta} + \frac{1-\mu}{2h_1^2} \left(1 + \frac{\delta_1^2}{12R_1^2} \right) \frac{\partial^2 u}{\partial \beta^2} - \frac{\delta_1^2}{12R_1} \frac{\partial^3 w}{\partial \xi^3} + \\ & + \frac{1-\mu}{2} \frac{\delta_1^2}{12R_1^2 h_1^2} \frac{\partial^3 w}{\partial \xi \partial \beta^2} + \frac{\mu}{R_1} \frac{\partial w}{\partial \xi} + \frac{1-\mu}{2h_1} \left[\frac{dH_1}{d\beta} + \frac{\delta_1^2}{6} \frac{d(\rho_1^2 H_1)}{d\beta} \right] \frac{\partial u}{\partial \beta} + \\ & + \frac{\delta_1^2}{12} \frac{1-\mu}{2h_1} \frac{d(\rho_1 H_1)}{d\beta} \frac{\partial^2 w}{\partial \xi d\beta} + \frac{\partial w}{\partial \xi} \frac{\partial^2 w}{\partial \xi^2} + \frac{1-\mu}{2h_1^2} \frac{\partial w}{\partial \xi} \frac{\partial^2 w}{\partial \beta^2} + \frac{1+\mu}{2h_1^2} \frac{\partial w}{\partial \beta} \frac{\partial^2 w}{\partial \xi \partial \beta} + \\ & + \frac{1-\mu}{2h_1} \frac{dH_1}{d\beta} \frac{\partial w}{\partial \xi} \frac{\partial w}{\partial \beta} - \frac{\partial^2 w}{\partial \tau^2} = 0 \end{aligned}$$

$$\begin{aligned}
 & \frac{1+\mu}{2h_1} \frac{\partial^2 u}{\partial \xi \partial \beta} + \frac{1-\mu}{2} \left(1 - \frac{\delta_1^2}{12R_1^2} \right) \frac{\partial^2 v}{\partial \xi^2} + \frac{1}{h_1^2} \frac{\partial^2 v}{\partial \beta^2} + \frac{1}{h_1} \frac{dH_1}{d\beta} \frac{\partial v}{\partial \beta} - \\
 & - \frac{\delta_1^2}{12h_1^2} \left(\frac{d\rho_1}{d\beta} \right)^2 v - \frac{3-\mu}{2} \frac{\delta_1^2}{12R_1 h_1} \frac{\partial^3 w}{\partial \xi^2 d\beta} + \frac{\delta_1^2}{12h_1^3} \frac{d\rho_1}{d\beta} \frac{\partial^2 w}{\partial \beta^2} + \\
 & + \left[\frac{1}{R_1 h_1} + \frac{\delta_1^2}{12h_1^2} \frac{d\rho_1}{d\beta} \frac{dH_1}{d\beta} \right] \frac{\partial w}{\partial \beta} + \left[\frac{1}{h_1} \frac{d\rho_1}{d\beta} + \frac{\delta_1^2}{12R_1^2 h_1} \frac{d\rho_1}{d\beta} \right] w + \\
 & + \frac{1}{h_1^3} \frac{\partial w}{\partial \beta} \frac{\partial^2 w}{\partial \beta^2} + \frac{1-\mu}{2h_1} \frac{\partial w}{\partial \beta} \frac{\partial^2 w}{\partial \xi^2} + \\
 & + \frac{1+\mu}{2h_1} \frac{\partial w}{\partial \xi} \frac{\partial^2 w}{\partial \xi \partial \beta} + \frac{1}{h_1^2} \frac{dH_1}{d\beta} \left(\frac{\partial w}{\partial \beta} \right)^2 - \frac{\partial^2 v}{\partial \tau^2} = 0 \\
 & \frac{\mu}{R_1} \frac{\partial u}{\partial \xi} + \frac{1}{R_1 h_1} \frac{\partial v}{\partial \beta} + \frac{w}{R_1^2} + \frac{\partial^2 w}{\partial \xi^2} + \frac{\delta_1^2}{12} \left\{ \frac{1}{h_1^4} \frac{\partial^4 w}{\partial \beta^4} + \frac{\partial^4 w}{\partial \xi^4} + \frac{2}{h_1^2} \frac{\partial^4 w}{\partial \xi^2 \partial \beta^2} + \right. \\
 & + \frac{6}{h_1^3} \frac{dH_1}{d\beta} \frac{\partial^3 w}{\partial \beta^3} + \frac{2}{h_1} \frac{dH_1}{d\beta} \frac{\partial^3 w}{\partial \xi^2 \partial \beta} + \\
 & + \left[\frac{2}{R_1^2 h_1^2} + \frac{7}{h_1^2} \left(\frac{dH_1}{d\beta} \right)^2 + \frac{1}{h_1^3} \frac{\partial^2 H_1}{\partial \beta^2} \right] \frac{\partial^2 w}{\partial \beta^2} + \\
 & + \left[\frac{2}{R_1^2 h_1} \frac{dH_1}{d\beta} + \frac{2}{h_1^2} \frac{d\rho^2}{d\beta} + \frac{1}{h_1^3} \frac{d^3 H_1}{d\beta^3} + \right. \\
 & + \left. \frac{4}{h_1^2} \frac{dH_1}{d\beta} \frac{d^2 H_1}{d\beta^2} + \frac{1}{h_1} \left(\frac{dH_1}{d\beta} \right)^3 \right] \frac{\partial w}{\partial \beta} + \\
 & + \left[\frac{1}{R_1^4} + \frac{1}{h_1^2} \frac{d^2 \rho_1^2}{d\beta^2} + \frac{1}{h_1} \frac{dH_1}{d\beta} \frac{d\rho_1^2}{d\beta^2} \right] w - \\
 & - \frac{1}{R_1} \frac{\partial^3 u}{\partial \xi^2} + \frac{1-\mu}{2R_1 h_1^2} \frac{\partial^3 u}{\partial \xi \partial \beta^2} + \frac{1-\mu}{2h_1} \frac{d(\rho_1 H_1)}{d\beta} \frac{\partial^2 u}{\partial \xi \partial \beta} - \\
 & - \frac{3-\mu}{2R_1 h_1} \frac{\partial^3 v}{\partial \xi^2 \partial \beta} - \frac{3(1-\mu)}{2h_1} \frac{d\rho_1}{d\beta} \frac{\partial^2 v}{\partial \xi^2} - \frac{1}{h_1^3} \frac{d\rho_1}{d\beta} \frac{\partial^2 v}{\partial \beta^2} - \\
 & - \left[\frac{2}{h_1^3} \frac{d^2 \rho_1}{d\beta^2} + \frac{3}{h_1^2} \frac{dH_1}{d\beta} \frac{d\rho_1}{d\beta} \right] \frac{\partial v}{\partial \beta} - \left[\frac{1}{R_1^2 h_1} \frac{d\rho_1}{d\beta} + \right. \\
 & + \frac{3}{h_1^2} \frac{dH_1}{d\beta} \frac{d^2 \rho_1}{d\beta^2} + \frac{1}{h_1^2} \frac{d^2 H_1}{d\beta^2} \frac{d\rho_1}{d\beta} + \\
 & + \left. \frac{1}{h_1} \left(\frac{dH_1}{d\beta} \right)^2 \frac{d\rho_1}{d\beta} + \frac{1}{h_1^3} \frac{d^3 \rho_1}{d\beta^3} \right] v \} - \\
 & - \frac{1-\mu^2}{E\delta_1} \left[N_1 \frac{\partial^2 w}{\partial \xi^2} + N_2 \frac{1}{h_1^2} \frac{\partial^2 w}{\partial \beta^2} + (T_{12} + T_{21}) \frac{1}{h_1} \frac{\partial^2 w}{\partial \xi \partial \beta} + \right. \\
 & + \frac{N_2}{h_1} \frac{dH_1}{d\beta} \frac{\partial w}{\partial \beta} + \frac{\partial N_1}{\partial \xi} \frac{\partial w}{\partial \xi} + \frac{1}{h_1} \frac{\partial T_{12}}{\partial \xi} \frac{\partial w}{\partial \beta} + \\
 & + \left. \frac{1}{h_1} \frac{\partial T_{21}}{\partial \beta} \frac{\partial w}{\partial \xi} + \frac{1}{h_1^2} \frac{\partial N_2}{\partial \beta} \frac{\partial w}{\partial \beta} \right] = 0
 \end{aligned} \tag{1.1}$$

$$\begin{aligned}
 N_1 &= \frac{E\delta_1}{1-\mu^2} \left[\frac{\partial u}{\partial \zeta} + \frac{\mu}{h_1} \frac{\partial v}{\partial \beta} + \frac{\mu}{R_1} w - \right. \\
 &\quad \left. - \frac{\delta_1^2}{12R_1} \frac{\partial^2 w}{\partial \zeta^2} + \frac{1}{2} \left(\frac{\partial w}{\partial \zeta} \right)^2 + \frac{\mu}{2h_1^2} \left(\frac{\partial w}{\partial \beta} \right)^2 \right] \\
 N_2 &= \frac{E\delta}{1-\mu^2} \left[\frac{1}{h_1} \frac{\partial v}{\partial \beta} + \mu \frac{\partial u}{\partial \zeta} + \frac{w}{R_1} + \frac{\delta_1^2}{12R_1} \frac{1}{h_1^2} \frac{\partial^2 w}{\partial \beta^2} + \right. \\
 &\quad \left. + \frac{\delta_1^2 H_1}{12R_1} \frac{dH_1}{d\beta} \frac{dw}{d\beta} + \frac{1}{2h_1^2} \left(\frac{\partial w}{\partial \beta} \right)^2 + \frac{\mu}{2} \left(\frac{\partial w}{\partial \zeta} \right)^2 \right] \\
 T_{12} &= \frac{E\delta_1}{2(1+\mu)} \left(\frac{1}{h_1} \frac{\partial u}{\partial \beta} + \frac{\partial v}{\partial \zeta} - \frac{\delta_1^2 H_1}{12R_1} \frac{\partial^2 w}{\partial \zeta \partial \beta} + \frac{1}{h_1} \frac{\partial w}{\partial \zeta} \frac{\partial w}{\partial \beta} \right) \\
 T_{21} &= \frac{E\delta_1}{2(1+\mu)} \left(\frac{1}{h_1} \frac{\partial u}{\partial \beta} + \frac{\partial v}{\partial \zeta} + \frac{\delta_1^2 H_1}{12R_1} \frac{\partial^2 w}{\partial \zeta \partial \beta} + \frac{1}{h_1} \frac{\partial w}{\partial \zeta} \frac{\partial w}{\partial \beta} \right)
 \end{aligned} \tag{1.2}$$

$$\begin{aligned}
 1/R_1 &= \rho_1 = \theta/h_1^3, \quad \theta = \sqrt{1-\varepsilon^2} \\
 1/H_1 &= h_1 = (1-\varepsilon^2 \cos^2 \beta)^{1/2}, \quad \varepsilon^2 = 1-b^2/c^2
 \end{aligned}$$

Здесь δ_1 , R_1 — соответственно безразмерная толщина стенки и радиус кривизны, h_1 — безразмерный коэффициент Ляме и ε — эксцентриситет оболочки.

2. Решение системы. Решение системы (1.1) будем искать в виде

$$\begin{aligned}
 u &= f_u(\tau) \sin n\beta \cos \lambda \zeta, \quad v = f_v(\tau) \cos n\beta \sin \lambda \zeta \\
 w &= f_w(\tau) \sin n\beta \sin \lambda \zeta + g_w(\tau) \sin^2 \lambda \zeta, \quad \lambda = m\pi/l_1
 \end{aligned} \tag{2.1}$$

где n — число волн по периферии данного сечения, а m характеризует волнообразование вдоль образующей цилиндра. Решение (2.1) удовлетворяет условиям шарнирного опирания оболочки.

Подставляя (2.1) в (1.1) и применяя метод Бубнова — Галеркина, получаем систему дифференциальных уравнений

$$\begin{aligned}
 -f_u'' + a_u f_u + a_v f_v + a_w f_w + a_g g_w + a_{\varepsilon} f_w g_w &= 0 \\
 -f_v'' + b_u f_u + b_v f_v + b_w f_w + b_{\varepsilon} f_w g_w &= 0 \\
 f_w'' + c_u f_u + c_v f_v + c_w f_w + \lambda^3 f_u g_w + c_{2w} f_w g_w + \\
 + c_{ww} f_w g_w^2 + c_{vw} f_v g_w + c_{\varepsilon w} f_w^3 &= 0 \\
 g_w'' + \lambda^3 (p_w g_w + p_{uw} f_u f_w + p_{vw} f_v f_w + \\
 + p_{ww} f_w^2 g_w + p_{2w} f_w^2 + p_{2w}^* g_w^2 + p_{\varepsilon w} g_w^3) &= 0 \\
 a_u &= -\lambda^2 - \frac{1-\mu}{2} n^2 (\varepsilon_2 + k\theta^2 \varepsilon_8) - \\
 - \frac{1-\mu}{16} n \varepsilon^2 [\varepsilon_{4s} + 2k\theta (6\varepsilon_{7s} + \theta \varepsilon_{10s})] \\
 a_v &= \frac{1+\mu}{2} n \lambda \varepsilon_1, \quad a_g = \frac{2\gamma_m}{3\pi m} k (1-\mu) \varepsilon^2 \theta n \lambda \varepsilon_{7s}^* \\
 a_w &= \mu \lambda \theta \varepsilon_7 + k\theta \left[\lambda^3 \varepsilon_3 - \frac{1-\mu}{2} n \lambda (n \varepsilon_5 + \frac{1}{2} \varepsilon^2 \varepsilon_{7s}) \right]
 \end{aligned} \tag{2.2}$$

$$\begin{aligned}
 a_a &= \frac{1}{2} \lambda^3 - \frac{1-\mu}{4} n \lambda \left(\varepsilon^2 + \frac{1}{8} \varepsilon^2 \varepsilon_{4s} \right) \\
 b_u &= -\frac{1+\mu}{2} n \lambda \eta_1, \quad b_b = \frac{3\mu-1}{4} n \lambda^2 \eta_1 \\
 b_v &= \frac{1}{8} \varepsilon^2 n \varepsilon_{4s} - n^2 \eta_2 - \frac{9}{8} k \varepsilon^4 \theta^2 (1 + \varepsilon_{12c}) - \frac{1-\mu}{2} (1 - k \theta^2 \eta_6) \lambda^2 \\
 b_w &= n \theta \left[\frac{3-\mu}{2} k \lambda^2 \eta_4 + \frac{3}{8} k \varepsilon^2 n \varepsilon_{8s} + \eta_4 + \frac{3}{8} k \varepsilon^4 (\eta_{10} + \varepsilon_{10c}) \right] + \frac{3}{8} \varepsilon^2 \theta (\varepsilon_{6s} + k \theta^2 \varepsilon_{12s}) \\
 c_u &= -\mu \lambda \theta \varepsilon_3 + k \theta \lambda \left(2 \varepsilon^2 n \varepsilon_{7s} + \frac{1-\mu}{2} n^2 \varepsilon_5 - \lambda^2 \varepsilon_3 \right) \\
 c_v &= -n \theta \varepsilon_4 - \frac{1}{2} k \left[(3-\mu) \lambda^2 \theta n \varepsilon_4 + \frac{9}{8} (1-\mu) \theta \varepsilon^2 \lambda^2 \varepsilon_{6s} + \frac{3}{4} \varepsilon^2 \theta n^2 \varepsilon_{8s} + \right. \\
 &+ 3 n \varepsilon^2 \theta \left(\varepsilon_{8s} + \frac{13}{4} \varepsilon^2 \varepsilon_{10} - \frac{13}{16} \varepsilon^2 \varepsilon_{10c}^* \right) + 3 \theta \varepsilon^2 \left(\varepsilon_{8s} - \frac{1}{64} (153 \varepsilon^4 + 9 \varepsilon^2 + 16 \theta^2) \varepsilon_{12s} + \right. \\
 &\left. + \frac{1}{8} (18 \varepsilon^2 - 1) \varepsilon_{10s}^{**} + \frac{3}{64} \varepsilon^2 (1 + 17 \varepsilon^2) \varepsilon_{12s}^* \right) \left. \right] \\
 c_w &= \theta^2 \varepsilon_6 + k \left[n^4 \varepsilon_4 + \lambda^4 + 2 n^2 \lambda^2 \varepsilon_2 + \frac{3}{4} \varepsilon^2 n^3 \varepsilon_{6s} - n^2 \frac{8 \theta^2 + 5 \varepsilon^4}{4} \varepsilon_8 - \right. \\
 &- \frac{1}{4} \varepsilon_{6c}^2 - \frac{5}{16} \varepsilon^4 \varepsilon_{8c}^* \left. \right] + \frac{n}{4} \left(2 \varepsilon^2 \varepsilon_{6s} - \left(7 \varepsilon^2 \theta^2 + \frac{21}{8} \varepsilon^6 \right) \varepsilon_{10s} + \frac{13}{4} \varepsilon^4 \varepsilon_{8s}^* + \right. \\
 &\left. + \frac{7}{8} \varepsilon^6 \varepsilon_{10s}^* \right) + \varepsilon_{12} \left(\theta^4 + \frac{27}{4} \varepsilon^4 \theta^2 \right) - \frac{3}{2} \varepsilon^2 \theta^2 \varepsilon_{10c} - \frac{27}{16} \varepsilon^4 \theta^2 \varepsilon_{12c}^* + \frac{1}{4} \varepsilon^2 n \lambda^2 \varepsilon_{4s} \left. \right] \\
 c_{vw} &= -\mu n \lambda^2 \varepsilon_1, \quad c_{3w} = -\frac{3}{32} \lambda^4 - \frac{1}{16} \mu n^2 \lambda^2 \varepsilon_2 - \frac{1-\mu}{32} \lambda^2 n^2 \varepsilon_{2a} \tag{2.3} \\
 c_{ww} &= -7/4 \mu \theta \lambda^2 \varepsilon_3 - 3/4 n^2 \theta \varepsilon_5 - 3/4 k \theta^3 n^2 \varepsilon_{11} - 2 k \theta \lambda^4 \varepsilon_3 \\
 p_w &= -\frac{16}{3} k \lambda^4, \quad p_{uw} = -\frac{1}{2} \lambda \left(\lambda^2 + \mu n^2 \varepsilon_2 + \frac{1-\mu}{3} n^2 \eta_2 \right) \\
 p_{vw} &= \frac{1}{2} \left(\mu n \lambda^2 \varepsilon_1 - n^3 \varepsilon_3 + \frac{3}{4} k \varepsilon^2 \theta^2 n^2 \beta_{11} - \frac{1-\mu}{3} \lambda^2 n \eta_1 \right) \\
 p_{2w} &= \frac{\theta}{2} \left(\mu \lambda^2 \varepsilon_3 + \frac{1}{3} k \lambda^2 \varepsilon_3 + n^2 \varepsilon_5 - \frac{1}{2} k \varepsilon^2 n^3 \beta_9 - k n^4 \varepsilon_7 + k \theta^2 n^2 \varepsilon_{11} + \right. \\
 &\left. + (1-\mu) k \lambda^2 n^2 \eta_5 \right), \quad k = \delta_1^2 / 12, \quad \gamma_m = 1 - (-1)^m \\
 p_{2w}^* &= \frac{1}{2} \mu \theta \lambda^2 \psi(3, 0), \quad p_{3w} = \frac{1}{6} \lambda^4, \quad p_{ww} = \frac{1}{2} n^2 \lambda^2 \left(\mu \varepsilon_2 - \frac{1-\mu}{3} \eta_2 \right)
 \end{aligned}$$

В коэффициентах (2.3) приняты следующие обозначения:

$$\begin{aligned}
 \varepsilon_j &= \psi(j, 0) - \psi(j, n), \quad \eta_j = \psi(j, 0) + \psi(j, n), \quad \varepsilon_{js} = 2[\psi(j, n_a) - \psi(j, n+1)] \quad (j=1, 2, 3, \dots) \\
 \varepsilon_{pc} &= -1/2 [2\psi(p, 2) + \psi(p, n+2) + \psi(p, n_c)], \quad \varepsilon_{ps}^* = 2[\psi(p, n_j) - \psi(p, n+3)] \quad (p=10, 12) \\
 \eta_{10c} &= 1/2 [2\psi(10, 2) - \psi(10, n+2) - \psi(10, n_c)], \\
 \varepsilon_{qs}^* &= 2[2\psi(q, 1) - \psi(q, n_a) - \psi(q, n+1)] \quad (q=6, 8) \\
 \varepsilon_{rc}^* &= 2[2\psi(r, 2) - \psi(r, n_c) - \psi(r, n+2)] \quad (r=8, 10, 12) \\
 \varepsilon_{7s} &= 1/12 [1 + (-1)^n] [\psi(7, 1/2 n_c) - \psi(7, 1/2 (n+2))]
 \end{aligned}$$

$$\varepsilon_{10s}^{**} = 2[\psi(10, n_s) - \psi(10, n+2)], \quad n_a = |n-1|, \quad n_c = |n-2|, \quad n_f = |n-3|$$

Функции $\psi(j, k)$ являются решениями интегралов вида

$$\psi(j, k) = \frac{1}{2\pi} \int_0^{2\pi} h_i^{-j} \cos^2 k\beta d\beta$$

общее решение которых дано в [6]:

$$\psi(k, 0) = 1 + \sum_{r=1}^{\infty} (-1)^r \frac{1}{r!} \binom{2r}{r} \left(\frac{\varepsilon}{2}\right)^{2r} \prod_{j=0}^{r-1} \left(\frac{k}{2} - j\right)$$

$$\psi(k, N) = \sum_{r=N}^{\infty} (-1)^r \frac{1}{r!} \binom{2r}{r-N} \left(\frac{\varepsilon}{2}\right)^{2r} \prod_{j=0}^{r-1} \left(\frac{k}{2} - j\right)$$

Из первых двух уравнений системы (2.2) для статической задачи будем иметь

$$\begin{aligned} f_u &= \frac{1}{\Delta} (-\kappa_1 b_v + \kappa_2 a_u), & f_v &= \frac{1}{\Delta} (\kappa_1 b_u - \kappa_2 a_v) \\ \kappa_1 &= a_w f_w + a_g g_w + a_u f_w g_w & (2.4) \\ \Delta &= a_u b_v - a_v b_u, & \kappa_2 &= b_w f_w + b_u f_w g_w \end{aligned}$$

Здесь и ниже для краткости записи аргумент τ соответствующих функций будем опускать.

Подставляя (2.4) в третье и четвертое уравнение системы (2.2), получаем два нелинейных дифференциальных уравнения второго порядка относительно неизвестных функций f_w и g_w :

$$f_w'' + s_{11} f_w + s_{12} g_w + s_{13} f_w g_w + s_{14} g_w^2 + s_{15} f_w g_w^2 + c_3 w f_w^3 = 0 \quad (2.5)$$

$$g_w'' + s_{21} g_w + s_{22} g_w^2 + s_{23} f_w^2 + s_{24} f_w g_w + s_{25} f_w^2 g_w + s_{26} g_w^3 = 0$$

$$s_{11} = c_w + \frac{1}{\Delta} [c_u (a_v b_w - b_v a_w) + c_v (b_u a_w - a_u b_w)]$$

$$s_{12} = \frac{1}{\Delta} a_g (c_v b_u - c_u b_v), \quad s_{14} = \frac{1}{\Delta} a_g (c_{vw} b_u - c_{uw} b_v)$$

$$s_{13} = c_{2w} + \frac{1}{\Delta} [c_u (a_v b_b - b_v a_a) + c_v (a_a b_u - a_u b_b) + c_{uw} (a_v b_w - b_v a_w) + c_{vw} (b_u a_u - a_u b_w)]$$

$$s_{15} = c_{ww} + \frac{1}{\Delta} [c_{uw} (a_v b_b - b_v a_a) + c_{vw} (b_u a_a - a_u b_b)]$$

$$s_{21} = \frac{4}{3} p_w, \quad s_{22} = \frac{4}{3} p_{2w}^*, \quad s_{26} = \frac{4}{3} p_{3w}$$

$$s_{23} = \frac{4}{3} \left\{ p_{2w} + \frac{1}{\Delta} [p_{uw} (a_v b_w - b_v a_w) + p_{vw} (b_u a_w - a_u b_w)] \right\}$$

$$s_{24} = \frac{4}{3\Delta} a_g (p_{vw} b_u - p_{uw} b_v)$$

$$s_{25} = \frac{4}{3} \left\{ p_{ww} + \frac{1}{\Delta} [p_{uw} (a_v b_b - b_v a_a) + p_{vw} (b_u a_a - a_u b_b)] \right\}$$

Точное решение системы (2.5) получить трудно (это можно сделать с помощью какого-либо численного метода на ЭВМ). Однако приближенное решение задачи может быть найдено, если положить $g_w=0$ [4]. В этом случае из (2.5) следует

$$f_w'' + s_{11}f_w + c_{3w}f_w^3 = 0 \quad (2.6)$$

Отсюда видно, что s_{11} — квадрат безразмерной собственной частоты колебаний для линейной задачи $s_{11} = \omega_0^{*2}$, которая связана с действительным значением частоты ω_0 зависимостью $\omega_0 = (\omega_0^*/c)(E/\rho_0(1-\mu^2))^{1/2}$.

Обозначив $c_{3w} = \omega_0^{*2}K$, запишем уравнение (2.6) в виде

$$f_w'' + \omega_0^{*2}(1 + Kf_w^2)f_w = 0 \quad (2.7)$$

Решением уравнения (2.7) при начальных условиях

$$f_w(0) = A, \quad f_w'(0) = 0 \quad (2.8)$$

является функция [4]:

$$f_w(\tau) = A \operatorname{cn}(\kappa\tau, k) \quad (2.9)$$

где $\operatorname{cn}(\kappa\tau, k)$ — эллиптическая функция (косинус) Якоби, а k — модуль той же функции. Период колебаний определяется по формуле

$$\begin{aligned} T &= \frac{4F(k, 1/2\pi)}{\omega_0^* \sqrt{1 + KA^2}}, \quad F\left(k, \frac{1}{2}\pi\right) = \\ &= \frac{1}{2}\pi \left(1 + \frac{1}{4}k^2 + \frac{9}{64}k^4 + \frac{25}{216}k^6 + \dots\right) \end{aligned} \quad (2.10)$$

где $F(k, 1/2\pi)$ — полный эллиптический интеграл первого рода.

При $K=0$ из (2.10) находим период линейных собственных колебаний $T_0 = 2\pi/\omega_0^*$.

Частота нелинейных собственных колебаний ω^* с частотой ω_0^* связана зависимостью

$$\omega^* = \omega_0^* [\pi(1 + KA^2)^{1/2}] / [2F(k, 1/2\pi)] \quad (2.11)$$

Одно приближенное решение уравнения (2.7) можно получить, если воспользоваться разложением эллиптического косинуса Якоби в ряд Фурье [7]:

$$\operatorname{cn}(\kappa\tau, k) = \frac{2\pi}{kF(k, 1/2\pi)} \sum_{r=0}^{\infty} \frac{q^{r+1/2}}{1 + q^{2r+1}} \cos(2r+1) \frac{\pi\kappa\tau}{2F(k, 1/2\pi)} \quad (2.12)$$

$$q = p(1 + 2p^4 + 15p^8 + 150p^{12} + \dots), \quad p = 1/2\sqrt{k}$$

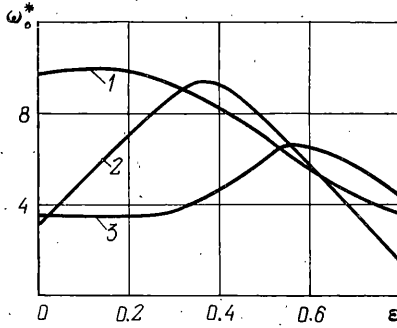
Сохраняя в (2.12) только первый член, будем иметь

$$f_w = \frac{4A}{kF^*} \frac{\sqrt{q}}{(1+q)} \cos \frac{\kappa\tau}{F^*}, \quad F^* = \frac{2}{\pi} F\left(k, \frac{1}{2}\pi\right) \quad (2.13)$$

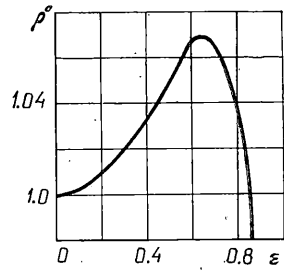
При этом частота колебаний определяется формулой $\omega^* = \kappa/F$, которая совпадает с (2.11).

3. Численный анализ решения. В качестве примера рассматривалась оболочка со следующими параметрами: $0.001 \leq \delta_1 \leq 0.01$, $0.8 \leq l_1 \leq 31.4$, $(m, n) = 1-20$, $0.0 \leq A \leq 0.3$, $0.0 \leq \varepsilon \leq 0.96$.

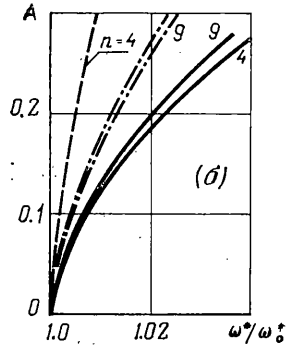
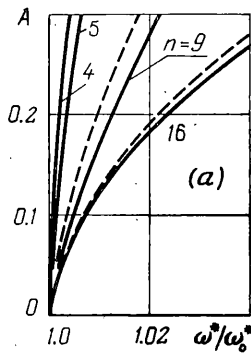
На фиг. 2 показано изменение минимальной линейной частоты от эксцентриситета ε . Кривая 1 соответствует $\omega^* \cdot 10^3$ при $\delta_1 = 0.01$, $l_1 = 31.4$; кри-



Фиг. 2



Фиг. 3



Фиг. 4

вая 2 построена для $\omega^* \cdot 10^3$ при $\delta_1=0.001$, $l_1=31.4$; кривая 3 соответствует $\omega^* \cdot 10^2$ при $\delta_1=0.01$, $l_1=10$. Заметим, что сначала функции нарастают, достигая экстремума при различных ε (в зависимости от δ_1 и l_1), а затем убывают при $\varepsilon \rightarrow 1.0$. Подобное изменение ω^* , по-видимому, связано с изменением средней кривизны поперечного сечения (см. фиг. 3) $\rho^\circ = 1/R^\circ$, где

$$R^\circ = \frac{1}{2\pi} \int_0^{2\pi} R_1 d\beta =$$

$$= \frac{1}{\sqrt{1-\varepsilon^2}} \left[1 + \sum_{r=1}^{\infty} (-1)^r \frac{1}{r!} \binom{2r}{r} \left(\frac{\varepsilon}{2}\right)^{2r} \prod_{j=0}^{r-1} \left(\frac{3}{2} - j\right) \right]$$

На фиг. 4, а показаны скелетные кривые при $\delta_1=0.01$ и $l_1=2$, а на фиг. 4, б — при $\delta_1=0.01$ и $l_1=10$. Сплошные кривые на фиг. 4, а соответствуют $\varepsilon=0$, а пунктирные — $\varepsilon=0.8$. На фиг. 4, б сплошные линии соответствуют $\varepsilon=0$, пунктирная — $\varepsilon=0.64$, а штрихпунктирные — $\varepsilon=0.32$.

Сравнение между точным (2.9) и приближенным (2.13) решениями показало, что во всех исследованных случаях точное решение может быть заменено с очень большой точностью приближенным решением.

ЛИТЕРАТУРА

1. Вольмир А. С. Нелинейная динамика пластинок и оболочек. М., «Наука», 1972.
2. Leissa A. N. Vibrations of shells. NASA, 1973, No. SP-288.
3. Brush D. O., Almroth B. O. Buckling of bars, plates and shells. New York - London, McGraw-Hill, 1975.
4. Малкина Р. Л. Колебания некруговых цилиндрических оболочек. Изв. АН СССР. Механика и машиностроение, 1960, № 1.
5. Козаров М. Beulung und Dynamik orthotroper elliptischzyklindrischer Schalen. Докл. Болг. АН, 1963, т. 16, № 4.
6. Козаров М., Младенов К. Решение на някои еллиптични интегралы. Физико-математическо списание, 1975, № 1.
7. McLachlan N. W. Ordinary non-linear differential equations in engineering and physical sciences. Oxford, Clarendon press, 1955.